

УДК 546.776'35'34'442':548.73

**ФАЗООБРАЗОВАНИЕ В СИСТЕМАХ Li_2MoO_4 — Rb_2MoO_4 — MMoO_4 ($\text{M} = \text{Ca}, \text{Sr}, \text{Ba}, \text{Pb}$)
И КРИСТАЛЛИЧЕСКАЯ СТРУКТУРА α - $\text{Rb}_2\text{Pb}(\text{MoO}_4)_2$**

© 2011 И.А. Гудкова¹, З.А. Солодовникова¹, С.Ф. Солодовников^{1,2*}, Е.С. Золотова¹,
Н.В. Курачева^{1,2}

¹Учреждение Российской академии наук Институт неорганической химии им. А.В. Николаева СО РАН,
Новосибирск

²Новосибирский государственный университет

Статья поступила 29 декабря 2010 г.

Проведена субсолидусная триангуляция систем Li_2MoO_4 — Rb_2MoO_4 — MMoO_4 ($\text{M} = \text{Ca}, \text{Sr}, \text{Pb}, \text{Ba}$), наиболее подробно исследованы разрезы RbLiMoO_4 — $\text{Rb}_2\text{M}(\text{MoO}_4)_2$ ($\text{M} = \text{Pb}, \text{Ba}$), на которых найдены твердые растворы на основе $\text{Rb}_2\text{M}(\text{MoO}_4)_2$ протяженностью 11 мол.%. Тройные молибдаты в системах не образуются, что подтверждено и с помощью спонтанной раствор-расплавной кристаллизации. Получены кристаллы и расшифрована кристаллическая структура α - $\text{Rb}_2\text{Pb}(\text{MoO}_4)_2$ ($a = 20,9724(15)$, $b = 12,1261(8)$, $c = 16,1171(10)$ Å, $\beta = 115,728(13)^\circ$, пр. гр. $C2/m$, $R = 0,0695$, $Z = 16$), которая является моноклинной сверхструктурой пальмиерита и обладает наибольшим объемом ячейки и наиболее сложной структурой среди свинецсодержащих пальмиеритов. Один из MoO_6 -тетраэдров ориентационно разупорядочен по двум положениям, атомы свинца смешены из центров своих координационных полизэдов к одной из их граней и имеют КЧ 6—8, для катионов рубидия КЧ 10—12.

Ключевые слова: литий, рубидий, щелочно-земельные металлы, свинец, двойные молибдаты, фазовые соотношения, твердые растворы, кристаллическая структура, пальмиерит.

ВВЕДЕНИЕ

Среди многочисленных молибдатов поливалентных металлов важное место занимают двойные молибдаты щелочных и двухвалентных металлов [1, 2], из которых $\text{A}_4\text{Zn}(\text{MoO}_4)_3$ ($\text{A} = \text{K}, \text{Rb}$) и $\text{A}_2\text{Pb}(\text{MoO}_4)_2$ ($\text{A} = \text{K}, \text{Rb}, \text{Cs}$) обладают сегнетоэластическими свойствами [2—4]. По данным [3] двойные молибдаты $\text{A}_2\text{Pb}(\text{MoO}_4)_2$ ($\text{A} = \text{K}, \text{Rb}, \text{Cs}$) ниже 180, 223 и 353 °C соответственно претерпевают дисторсионные фазовые переходы II рода из тригональной формы типа пальмиерита $\text{K}_2\text{Pb}(\text{SO}_4)_2$ [5] в моноклинные модификации, из которых изучено строение только α - $\text{K}_2\text{Pb}(\text{MoO}_4)_2$ [6]. Тройные молибдаты, содержащие щелочно-земельные элементы и свинец, пока не известны.

Задачей настоящей работы являлось изучение фазообразования и строения соединений в тройных системах Li_2MoO_4 — Rb_2MoO_4 — MMoO_4 ($\text{M} = \text{Ca}, \text{Sr}, \text{Ba}, \text{Pb}$). По литературным данным, в ограничивающих двойных системах Li_2MoO_4 — MMoO_4 ($\text{M} = \text{Ca}, \text{Sr}, \text{Ba}, \text{Pb}$) и Rb_2MoO_4 — MMoO_4 ($\text{M} = \text{Ca}, \text{Sr}$) соединения не образуются [1], а в системе Li_2MoO_4 — Rb_2MoO_4 существует двойной молибдат RbLiMoO_4 [7]. В системах Rb_2MoO_4 — MMoO_4 ($\text{M} = \text{Ba}, \text{Pb}$) образуются двойные молибдаты $\text{Rb}_2\text{M}(\text{MoO}_4)_2$ [2, 8, 9], структуры которых не определены. В связи с этим основными для исследования являлись тройные системы с барием и свинцом.

* E-mail: solod@niic.nsc.ru

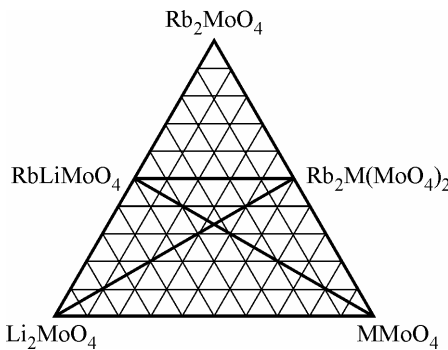


Рис. 1. Исследованные разрезы систем
 Li_2MoO_4 — Rb_2MoO_4 — MMoO_4 ($\text{M} = \text{Ba}, \text{Pb}$)

ЭКСПЕРИМЕНТАЛЬНАЯ ЧАСТЬ

Исходные простые и двойные молибдаты получали методом твердофазных реакций из соответствующих оксидов или карбонатов. Для изучения фазообразования и проведения триангуляции систем Li_2MoO_4 — Rb_2MoO_4 — MMoO_4 ($\text{M} = \text{Ba}, \text{Pb}$) исследовали их двойные разрезы (рис. 1) с шагом 2—12,5 мол.%, достижение равновесия контролировали с помощью РФА. Образцы отжигали не менее 200 ч при 400—500 °C ($\text{M} = \text{Ba}, \text{Pb}$) или 500—700 °C ($\text{M} = \text{Ca}, \text{Sr}$). В системах Li_2MoO_4 — Rb_2MoO_4 — MMoO_4 ($\text{M} = \text{Sr}, \text{Ca}$) изучали только разрезы RbLiMoO_4 — MMoO_4 , а также точки внутри образующихся треугольников.

Возможность образования тройных молибдатов при более высоких температурах проверяли с помощью метода спонтанной раствор-расплавной кристаллизации, в качестве растворителей использовали соответствующие щелочные димолибдаты. Температуры гомогенизации растворов-расплавов составляли 500—600 °C, скорость охлаждения 3—5 град./ч. Кристаллы $\text{Rb}_2\text{M}(\text{MoO}_4)_2$ ($\text{M} = \text{Ba}, \text{Pb}$), пригодные для РСА, получены из расплава спеченных однофазных образцов, температура гомогенизации расплавов 1000—1100 °C.

Полученные образцы изучены методом РФА на дифрактометре ДРОН-3М (CuK_α -излучение, Ni-фильтр, скорость сканирования 1 град./мин).

Параметры элементарных ячеек и интенсивности дифракционных отражений для определения структуры рубидий-свинцового молибдата измерены на автодифрактометре Bruker X8 Apex CCD при комнатной температуре по стандартной методике (MoK_α -излучение, графитовый монохроматор, ф-сканирование с шагом $\Delta\phi = 0,5^\circ$). Расчеты по расшифровке и уточнению структур выполнены с помощью комплекса программ SHELX97 [10].

РЕЗУЛЬТАТЫ И ИХ ОБСУЖДЕНИЕ

Двойные системы, ограничивающие концентрационные треугольники изученных нами тройных систем Li_2MoO_4 — Rb_2MoO_4 — MMoO_4 ($\text{M} = \text{Ca}, \text{Sr}, \text{Pb}, \text{Ba}$), ранее описаны в литературе [1, 2, 7—9] (см. выше), поэтому их исследования нами не проводились.

В системах Li_2MoO_4 — Rb_2MoO_4 — MMoO_4 ($\text{M} = \text{Ca}, \text{Sr}, \text{Pb}, \text{Ba}$) при взятых условиях синтеза тройные соединения не обнаружены. На фазовых диаграммах систем Li_2MoO_4 — Rb_2MoO_4 — MMoO_4 ($\text{M} = \text{Ca}, \text{Sr}$) присутствует один квазибинарный разрез RbLiMoO_4 — MMoO_4 ($\text{M} = \text{Ca}, \text{Sr}$), разбивающий системы на два вторичных треугольника (см. рис. 1). В системах Li_2MoO_4 — Rb_2MoO_4 — MMoO_4 ($\text{M} = \text{Ba}, \text{Pb}$) кроме этих разрезов квазибинарными являются также разрезы RbLiMoO_4 — $\text{Rb}_2\text{M}(\text{MoO}_4)_2$. На разрезах RbLiMoO_4 — $\text{Rb}_2\text{M}(\text{MoO}_4)_2$ и RbLiMoO_4 — MMoO_4 найдены области гомогенности на основе $\text{Rb}_2\text{M}(\text{MoO}_4)_2$, а также молибдатов свинца и бария. Их протяженности по разрезам RbLiMoO_4 — $\text{Rb}_2\text{M}(\text{MoO}_4)_2$ и RbLiMoO_4 — BaMoO_4 составляют 11 ± 1 мол.%, а по разрезу RbLiMoO_4 — PbMoO_4 — 6 ± 1 мол.%. Таким образом, каждая из систем Li_2MoO_4 — Rb_2MoO_4 — MMoO_4 ($\text{M} = \text{Ba}, \text{Pb}$) квазибинарными разрезами разбивается на три вторичных треугольника.

В поисковых опытах по раствор-расплавной кристаллизации продуктами кристаллизации были кристаллы известных простых и двойных молибдатов из ограничивающих систем, а также кристаллы соответствующих щелочных димолибдатов. Бесцветные гексагональные пластинчатые кристаллы $\text{Rb}_2\text{Pb}(\text{MoO}_4)_2$, пригодные для РСА, получены кристаллизацией из собственного расплава.

Все полученные нами кристаллы были идентифицированы с помощью РФА, некоторые из них отсняты на автодифрактометре Bruker-Nonius X8 Apex. Параметры решетки, измеренные для

Т а б л и ц а 1

Данные рентгеноструктурного анализа α - $\text{Rb}_2\text{Pb}(\text{MoO}_4)_2$

Сингония	Моноклинная
Пространственная группа	$C2/m$
Параметры элементарной ячейки $a, b, c, \text{\AA}; \beta$, град.	20,9724(15), 12,1261(6), 16,1171(10); 115,728(2)
Объем ячейки, $\text{\AA}^3 / Z$	3692,5(4) / 16
$d_{\text{выч}}, \text{г/см}^3$	5,022
$\mu(\text{Mo}K_\alpha)$, мм^{-1}	31,355
Размер кристалла, мм	0,12×0,10×0,07
Пределы углов отражения θ , град.	1,40—32,63
Пределы индексов Миллера h, k, l	$-25 \leq h \leq 31, -18 \leq k \leq 11, -24 \leq l \leq 20$
Число снятых отражений	19168
Число использованных отражений $n [I > 2\sigma(I)]$	7025 [$R(\text{int}) = 0,0676$]
Число уточняемых параметров p	277
Коэффициент экстинкции	0,00024(2)
Добротность подгонки	1,069
$S = [\sum w[(F_{\text{эксп}})^2 - F_{\text{выч}}]^2 / (n-p)]^{1/2}$	
$R(F)$ и $wR(F^2)$ для $I > 2\sigma(I)$	0,0695 / 0,1856
$R(F)$ и $wR(F^2)$ для всех отражений	0,0982 / 0,2104
Экстремумы $\Delta\rho$, $\text{e}/\text{\AA}^3$	7,029 / -11,041

$\text{Rb}_2\text{Ba}(\text{MoO}_4)_2$, согласуются с литературными данными [10], а метрика ячейки для $\text{Rb}_2\text{Pb}(\text{MoO}_4)_2$ определена впервые, причем параметры и объем ячейки последнего были существенно больше по сравнению с данными определения структуры $\text{K}_2\text{Pb}(\text{MoO}_4)_2$ [6].

Расшифровку структуры моноклинной формы $\text{Rb}_2\text{Pb}(\text{MoO}_4)_2$ проводили прямыми методами в рамках пр. гр. $C2/m$, которая была подтверждена при дальнейшем уточнении структуры. На заключительном этапе уточнения была введена поправка на двойникование (точнее, "тройникование") кристалла, полученные уточнением объемы компонентов тройника соотносятся как 0,721:0,177(3):0,102(4) при финальном $R = 0,0695$. Попытки построить полностью упорядоченные модели структуры при снижении симметрии до $C2$ или Cm были безуспешными и приводили к нестабильному уточнению с резким увеличением R -фактора. Сводка финальных данных РСА приведена в табл. 1, координаты базисных атомов и эквивалентные параметры атомных смещений — в табл. 2, основные межатомные расстояния — в табл. 3. Значения анизотропных температурных факторов можно получить у авторов.

Структура изученного нами кристалла моноклинной формы рубидий-свинцового молибдата является сверхструктурой пальмиерита, их элементарные ячейки связаны соотношениями: $\mathbf{a} = 2\mathbf{a}_\text{п} + 4\mathbf{b}_\text{п}$, $\mathbf{b} = -2\mathbf{a}_\text{п}$, $\mathbf{c} = 2(-\mathbf{a}_\text{п} - 2\mathbf{b}_\text{п} + \mathbf{c}_\text{п})/3$. В то же время ячейка α - $\text{Rb}_2\text{Pb}(\text{MoO}_4)_2$ имеет простую связь с ячейкой α - $\text{K}_2\text{Pb}(\text{MoO}_4)_2$ [6]: $\mathbf{a} = -2\mathbf{a}_{\text{КРb}}$, $\mathbf{b} = 2\mathbf{c}_{\text{КРb}}$, $\mathbf{c} = 2\mathbf{b}_{\text{КРb}}$, т.е. объем ячейки увеличен в 8 раз по сравнению с калий-свинцовым молибдатом, что указывает на более сложный характер структуры рубидиевого соединения. С другой стороны, не исключен вариант изоструктурности обоих соединений, так как авторы [6] проводили расшифровку структуры α - $\text{K}_2\text{Pb}(\text{MoO}_4)_2$ в рамках субъячейки.

В пальмиерите катионы калия и свинца расположены в позициях с симметрией $3m$ и $\bar{3}m$ пр. гр. $R\bar{3}m$ с КЧ 10 и 6 + 6 соответственно, сульфат-ионы имеют симметрию $3m$ [5]. С искаложением структуры пальмиерита и увеличением ячейки симметрия положений базисных атомов снижается, а их число увеличивается, при этом может меняться и координация. В структуре α - $\text{Rb}_2\text{Pb}(\text{MoO}_4)_2$ из 15 базисных атомов металла ($3\text{Pb}, 6\text{Mo}, 6\text{Rb}$) десять атомов расположены на

Таблица 2

Позиционные и эквивалентные параметры атомных смещений в структуре α -Rb₂Pb(MoO₄)₂

Атом	<i>x/a</i>	<i>y/b</i>	<i>z/c</i>	<i>U</i> _{екб} *
Pb(1)	0,24104(4)	0,5	0,22233(5)	0,01581(17)
Pb(2)	0,25820(5)	0	0,25088(7)	0,01938(19)
Pb(3)	0,50072(6)	-0,24428(6)	0,26442(9)	0,0398(3)
Rb(1)	0,64512(12)	0,5	0,43839(16)	0,0193(4)
Rb(2)	0,09907(14)	0,25282(12)	0,0504(2)	0,0309(5)
Rb(3)	0,14886(14)	0,5	-0,04873(16)	0,0209(4)
Rb(4)	0,65734(13)	0	0,46122(17)	0,0193(5)
Rb(5)	0,40098(12)	0,25556(12)	0,45587(15)	0,0230(4)
Rb(6)	0,34700(14)	0,5	0,03862(18)	0,0234(5)
Mo(1)	0,45312(11)	0	0,35637(12)	0,0131(3)
Mo(2)	0,44584(11)	0,5	0,34721(16)	0,0151(4)
Mo(3)	0,20042(9)	0,25722(10)	0,34878(12)	0,0146(3)
Mo(4)	0,30036(9)	0,25322(9)	0,14808(12)	0,0157(3)
Mo(5)	0,05106(11)	0,5	0,15211(16)	0,0160(4)
Mo(6)	0,54783(12)	0,5	0,14998(15)	0,0173(4)
O(1)	0,4101(13)	0	0,2373(14)	0,040(5)
O(2)	0,5071(8)	-0,1188(11)	0,3954(10)	0,029(3)
O(3)	0,3849(11)	0	0,3956(16)	0,027(4)
O(4)	0,4988(7)	0,6213(11)	0,3773(9)	0,025(3)
O(5)	0,3952(11)	0,5	0,4096(16)	0,030(5)
O(6)	0,3897(10)	0,5	0,2326(14)	0,031(4)
O(7)	0,2592(8)	0,3483(12)	0,4257(13)	0,050(5)
O(8)	0,2426(7)	0,1243(10)	0,3636(12)	0,031(3)
O(9)	0,1788(10)	0,3021(14)	0,2377(11)	0,057(5)
O(10)	0,1243(10)	0,2497(11)	0,3696(18)	0,047(6)
O(11)	0,3596(9)	0,2515(11)	0,0967(14)	0,035(4)
O(12)	0,3509(13)	0,2501(10)	0,2669(13)	0,050(5)
O(13)	0,2478(9)	0,1353(12)	0,1184(14)	0,040(4)
O(14)	0,2464(7)	0,3755(10)	0,1117(9)	0,023(2)
O(15)	0,0860(16)	0,5	0,2730(20)	0,084(11)
O(16)	0,1227(9)	0,5	0,1162(12)	0,016(3)
O(17)	-0,0017(9)	0,6161(12)	0,1094(15)	0,045(5)
O(18)**	0,5614(14)	0,5706(19)	0,2528(15)	0,029(5)
O(19)	0,6313(10)	0,5	0,1480(15)	0,028(4)
O(20A)**	0,5090(18)	0,6310(30)	0,1410(20)	0,041(7)
O(20B)**	0,4936(15)	0,4100(20)	0,0614(19)	0,033(6)

* U _{екб} = (U_{11} + $U_{22}\sin^2\beta$ + U_{33} + 2 $U_{13}\cos\beta$)/3 $\sin^2\beta$.

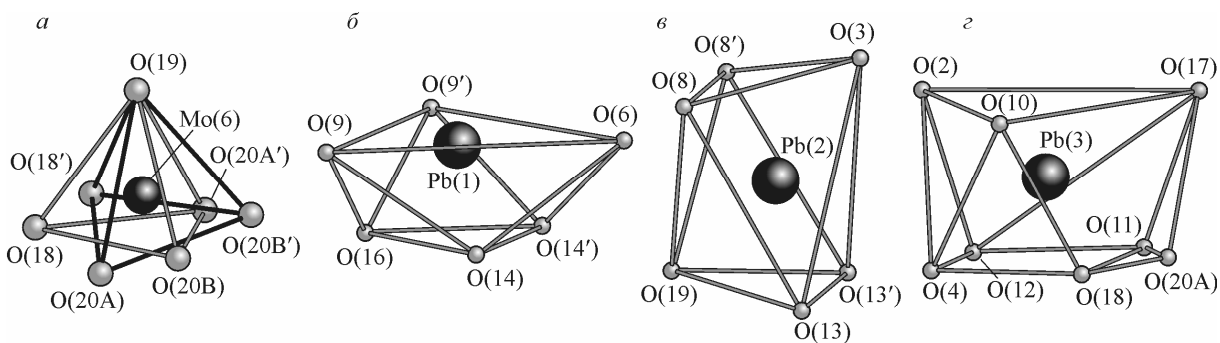
** Заселенность позиций равна 1/2.

зеркальных плоскостях, а остальные — в общих положениях. Атомы Мо тетраэдрически координированы с расстояниями Mo—O 1,71—1,83 Å, причем Mo(6)O₄-тетраэдры ориентационно разупорядочены по двум положениям (рис. 2, *a*). Остальные позиции атомов металла упорядоченно заняты атомами свинца и рубидия. Атомы свинца смешены из центров своих координа-

Таблица 3

Основные межатомные расстояния (\AA) в структуре α - $\text{Rb}_2\text{Pb}(\text{MoO}_4)_2$

Mo(1)-тетраэдр		Mo(2)-тетраэдр		Mo(3)-тетраэдр	
Mo(1)—O(1)	1,73(2)	Mo(2)—O(6)	1,71(2)	Mo(3)—O(7)	1,718(14)
Mo(1)—O(2) $\times 2$	1,771(13)	Mo(2)—O(5)	1,750(18)	Mo(3)—O(9)	1,732(15)
Mo(1)—O(3)	1,797(18)	Mo(2)—O(4) $\times 2$	1,779(13)	Mo(3)—O(10)	1,771(17)
$\langle \text{Mo}(1)—\text{O} \rangle$	1,767	$\langle \text{Mo}(2)—\text{O} \rangle$	1,755	Mo(3)—O(8)	1,804(12)
				$\langle \text{Mo}(3)—\text{O} \rangle$	1,756
Mo(4)-тетраэдр		Mo(5)-тетраэдр		Mo(6)-тетраэдр	
Mo(4)—O(12)	1,74(2)	Mo(5)—O(17) $\times 2$	1,737(15)	Mo(6)—O(20A) $\times 2$	1,76(3)
Mo(4)—O(13)	1,741(15)	Mo(5)—O(15)	1,76(3)	Mo(6)—O(19)	1,765(18)
Mo(4)—O(11)	1,768(16)	Mo(5)—O(16)	1,829(17)	Mo(6)—O(20B) $\times 2$	1,77(2)
Mo(4)—O(14)	1,802(11)	$\langle \text{Mo}(5)—\text{O} \rangle$	1,766	Mo(6)—O(18) $\times 2$	1,77(2)
$\langle \text{Mo}(4)—\text{O} \rangle$	1,763			$\langle \text{Mo}(6)—\text{O} \rangle$	1,766
Pb(1)-полиэдр		Pb(2)-полиэдр		Pb(3)-полиэдр	
Pb(1)—O(16)	2,324(18)	Pb(2)—O(19)	2,45(2)	Pb(3)—O(10)	2,40(2)
Pb(1)—O(14) $\times 2$	2,376(12)	Pb(2)—O(8) $\times 2$	2,489(15)	Pb(3)—O(4)	2,456(13)
Pb(1)—O(9) $\times 2$	2,794(18)	Pb(2)—O(13) $\times 2$	2,626(17)	Pb(3)—O(2)	2,558(14)
Pb(1)—O(6)	3,049(19)	Pb(2)—O(3)	2,67(2)	Pb(3)—O(20A)	2,57(3)
$\langle \text{Pb}(1)—\text{O} \rangle$	2,619	$\langle \text{Pb}(2)—\text{O} \rangle$	2,558	Pb(3)—O(18)	2,63(2)
				Pb(3)—O(17)	2,924(19)
				Pb(3)—O(11)	3,02(2)
				Pb(3)—O(12)	3,16(2)
				$\langle \text{Pb}(3)—\text{O} \rangle$	2,715
Rb(1)-полиэдр		Rb(2)-полиэдр		Rb(3)-полиэдр	
Rb(1)—O(18) $\times 2$	2,86(2)	Rb(2)—O(20B)	2,80(2)	Rb(3)—O(1)	2,74(2)
Rb(1)—O(7) $\times 2$	2,897(14)	Rb(2)—O(9)	2,808(18)	Rb(3)—O(14) $\times 2$	2,925(13)
Rb(1)—O(5)	2,92(2)	Rb(2)—O(11)	2,856(17)	Rb(3)—O(16)	2,939(17)
Rb(1)—O(4) $\times 2$	3,151(14)	Rb(2)—O(17)	2,961(19)	Rb(3)—O(11) $\times 2$	3,132(14)
Rb(1)—O(8) $\times 2$	3,169(14)	Rb(2)—O(20B')	3,02(3)	Rb(3)—O(17) $\times 2$	3,137(16)
Rb(1)—O(10) $\times 2$	3,188(14)	Rb(2)—O(17')	3,106(15)	Rb(3)—O(13) $\times 2$	3,281(17)
$\langle \text{Rb}(1)—\text{O} \rangle$	3,041	Rb(2)—O(13)	3,146(6)	$\langle \text{Rb}(3)—\text{O} \rangle$	3,063
		Rb(2)—O(14)	3,161(16)		
		Rb(2)—O(16)	3,176(15)		
		Rb(2)—O(20A)	3,21(4)		
		Rb(2)—O(20A')	3,28(3)		
		Rb(2)—O(19)	3,377(9)		
		$\langle \text{Rb}(2)—\text{O} \rangle$	3,075		
Rb(4)-полиэдр		Rb(5)-полиэдр		Rb(6)-полиэдр	
Rb(4)—O(15)	2,74(3)	Rb(5)—O(12)	2,76(2)	Rb(6)—O(6)	2,85(2)
Rb(4)—O(3)	2,809(19)	Rb(5)—O(2)	2,863(14)	Rb(6)—O(13) $\times 2$	2,946(18)
Rb(4)—O(7) $\times 2$	3,055(15)	Rb(5)—O(4)	2,996(13)	Rb(6)—O(20B) $\times 2$	3,13(3)
Rb(4)—O(8) $\times 2$	3,083(15)	Rb(5)—O(7)	3,015(15)	Rb(6)—O(11) $\times 2$	3,133(14)
Rb(4)—O(2) $\times 2$	3,197(16)	Rb(5)—O(5)	3,046(5)	Rb(6)—O(14) $\times 2$	3,205(15)
Rb(4)—O(10) $\times 2$	3,315(17)	Rb(5)—O(10)	3,08(2)	Rb(6)—O(19)	3,23(2)
$\langle \text{Rb}(4)—\text{O} \rangle$	3,085	Rb(5)—O(4')	3,209(15)	Rb(6)—O(20A) $\times 2$	3,45(4)
		Rb(5)—O(3)	3,221(6)	$\langle \text{Rb}(6)—\text{O} \rangle$	3,151
		Rb(5)—O(2')	3,246(16)		
		Rb(5)—O(8)	3,390(15)		
		$\langle \text{Rb}(5)—\text{O} \rangle$	3,083		



*Рис. 2. Некоторые координационные многогранники в структуре $\alpha\text{-Rb}_2\text{Pb}(\text{MoO}_4)_2$: две ориентации $\text{Mo}(6)\text{O}_4$ -тетраэдра (*а*); координационный полиэдр атома $\text{Pb}(1)$ (*б*); координационный полиэдр атома $\text{Pb}(2)$ (*в*); координационный полиэдр атома $\text{Pb}(3)$ (*г*). Штрихами помечены атомы, связанные с атомами под аналогичными номерами зеркальной плоскостью*

ционных полиздротов к одной из их граней, что ведет к существенной неравномерности и неопределенности координации (см. рис. 2, *б*—*г*). В пределах сферы радиуса 3,2 Å атомы $\text{Pb}(1)$, $\text{Pb}(2)$ и $\text{Pb}(3)$ имеют КЧ 5 + 1, 6 и 5 + 3 соответственно, при общем интервале расстояний $\text{Pb}-\text{O}$ 2,32—3,16 Å. Катионы рубидия отличаются гораздо более изометричным кислородным окружением ($\text{Rb}-\text{O}$ 2,74—3,45 Å) и имеют КЧ 10—12.

Как и сам пальмиерит, структура рубидий-свинцового молибдата — слоистая, наиболее прочные слои состоят из кислородных полиздротов свинца и MoO_4 -тетраэдров, объединенных по общим вершинам или ребрам (рис. 3, *а*). Между этими слоями располагаются сдвоенные слои "прокладки" из полиздротов рубидия, которые меньше отклоняются от тригональной симметрии (см. рис. 3, *б*). Таким образом, причины искажения структуры пальмиерита у $\alpha\text{-Rb}_2\text{Pb}(\text{MoO}_4)_2$ вызваны прежде всего сдвигами атомов свинца от их первоначальных положений на тройных осях и изменениями в их координации, сопровождающимися поворотом и сдвигом с бывших тройных осей ряда MoO_4 -тетраэдров. Наибольшие отклонения наблюдаются у разупорядоченного $\text{Mo}(6)\text{O}_4$ -тетраэдра, который является мостиковым между двумя полиздрами $\text{Pb}(3)$ (см. рис. 2, *а*), обладающего наиболее неопределенной координацией.

Структура пальмиерита и ее производные реализуются для соединений со многими тетраэдрическими анионами, например $\text{M}_3^{2+}(\text{XO}_4)_2$ ($\text{M} = \text{Sr}, \text{Ba}, \text{Pb}; \text{X} = \text{P}, \text{As}, \text{V}, \text{Cr}$), $\text{A}_2^+\text{M}^{2+}(\text{XO}_4)_2$ ($\text{A} = \text{K}, \text{Rb}, \text{Cs}, \text{Tl}; \text{M} = \text{Sr}, \text{Ba}, \text{Pb}; \text{X} = \text{S}, \text{Se}, \text{Cr}, \text{Mo}, \text{W}$) [11, 12], разнообразные виды искажения структуры пальмиерита с образованием сверхструктур найдены для семейства $\text{A}_5^+\text{R}^{3+}(\text{MoO}_4)_4$ ($\text{A} = \text{K}, \text{Rb}; \text{R} = \text{Ln}, \text{Y}, \text{Bi}, \text{Al}, \text{Fe}, \text{Sc}, \text{In}$) [12, 13]. Наибольшее значение имеют свинецсодержащие пальмиериты $\text{Pb}_3(\text{XO}_4)_2$ ($\text{X} = \text{P}, \text{V}, \text{As}$) и $\text{A}_2^+\text{Pb}(\text{XO}_4)_2$ ($\text{A} = \text{K}, \text{Rb}, \text{Cs}; \text{X} = \text{Mo}, \text{W}$), которые претерпевают ряд сегнетоэластических фазовых переходов с понижением симметрии от тригональной до моноклинной [3, 14]. Наличие фазовых переходов в этих соединениях объясняют эффектом неподеленной электронной пары $6s^2$ -электронов атомов свинца [14]. Однако, если высокотемпературные фазы этой группы соединений имеют неискаженную структуру пальмиерита, строение их известных низкотемпературных фаз зависит от состава. Это показывает, что механизмы искажения структуры пальмиерита в каждом случае различны и, вероятно, связаны с влиянием как других катионов, так и тетраэдрических анионов. В какой-то степени это иллюстрируется примером структуры $\alpha\text{-Rb}_2\text{Pb}(\text{MoO}_4)_2$, которая имеет наибольший объем ячеек и наиболее сложную структуру среди свинецсодержащих пальмиеритов, что можно объяснить сложным характером согласованных изменений координационных полиздротов свинца, рубидия и молибдена. Полученные нами новые данные о строении еще одного представителя семейства пальмиерита вновь подтверждают, что в зависимости от состава структуры соединений этой группы меняются в деталях. Направленное изменение этих деталей (например, за счет замещения) может быть использовано для управления функциональными свойствами свинецсодержащих двойных молибдатов и других пальмиеритоподобных соединений.

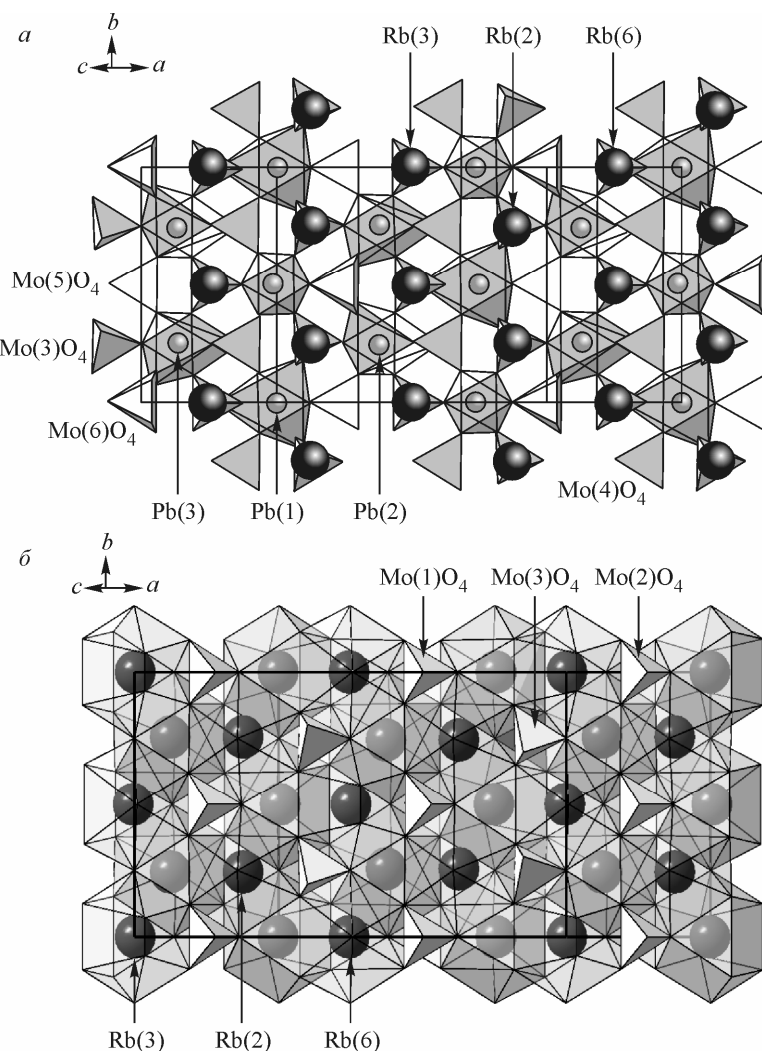


Рис. 3. Слои из координационных полиэдров свинца и рубидия в структуре α - $\text{Rb}_2\text{Pb}(\text{MoO}_4)_2$ в проекции на плоскость (001): слой на уровне $z \approx 0,75$ (а); слой на уровне $z \approx 0,5$ (б)

Работа выполнена при финансовой поддержке Российского фонда фундаментальных исследований (грант 08-03-00384).

СПИСОК ЛИТЕРАТУРЫ

1. Мохосоев М.В., Базарова Ж.Г. Сложные оксиды молибдена и вольфрама с элементами I—IV групп. — М.: Наука, 1990.
2. Соловьевников С.Ф., Клевцова Р.Ф., Клевцов П.В. // Журн. структур. химии. — 1994. — **35**, № 6. — С. 145.
3. Дудник Е.Ф., Мнушикина И.Е. // Укр. физ. журн. — 1977. — **22**, № 10. — С. 1737.
4. Isipov V.A. // Ferroelectrics. — 2005. — **322**. — Р. 83.
5. Moller C.K. // Acta Chem. Scand. — 1954. — **8**, N 1. — Р. 81.
6. Ефремов В.А., Трунов В.К. // Докл. АН СССР. — 1977. — **235**, № 4. — С. 820.
7. Самусева Р.Г., Бобкова М.В., Плющев В.Е. // Журн. неорган. химии. — 1969. — **14**, № 11. — С. 3140.
8. Беляев И.Н., Чикова Н.Н. // Журн. неорган. химии. — 1964. — **9**, № 12. — С. 2754.
9. Трунов В.К. // Журн. неорган. химии. — 1971. — **16**, № 2. — С. 553.
10. Sheldrick G.M. SHELX-97, Release 97-2. — Гöttingen, Germany: Univ. of Göttingen, 1997.
11. Ефремов В.А., Трунов В.К. // Кристаллография. — 1974. — **19**, № 5. — С. 989.
12. Лазоряк Б.И. // Успехи химии. — 1996. — **65**, № 4. — С. 307.
13. Лазоряк Б.И., Ефремов В.А. // Кристаллография. — 1987. — **32**, № 2. — С. 378.
14. Дудник Е.Ф., Киоссе Г.А. // Изв. АН СССР. Сер. физ. — 1983. — **47**, № 3. — С. 420.